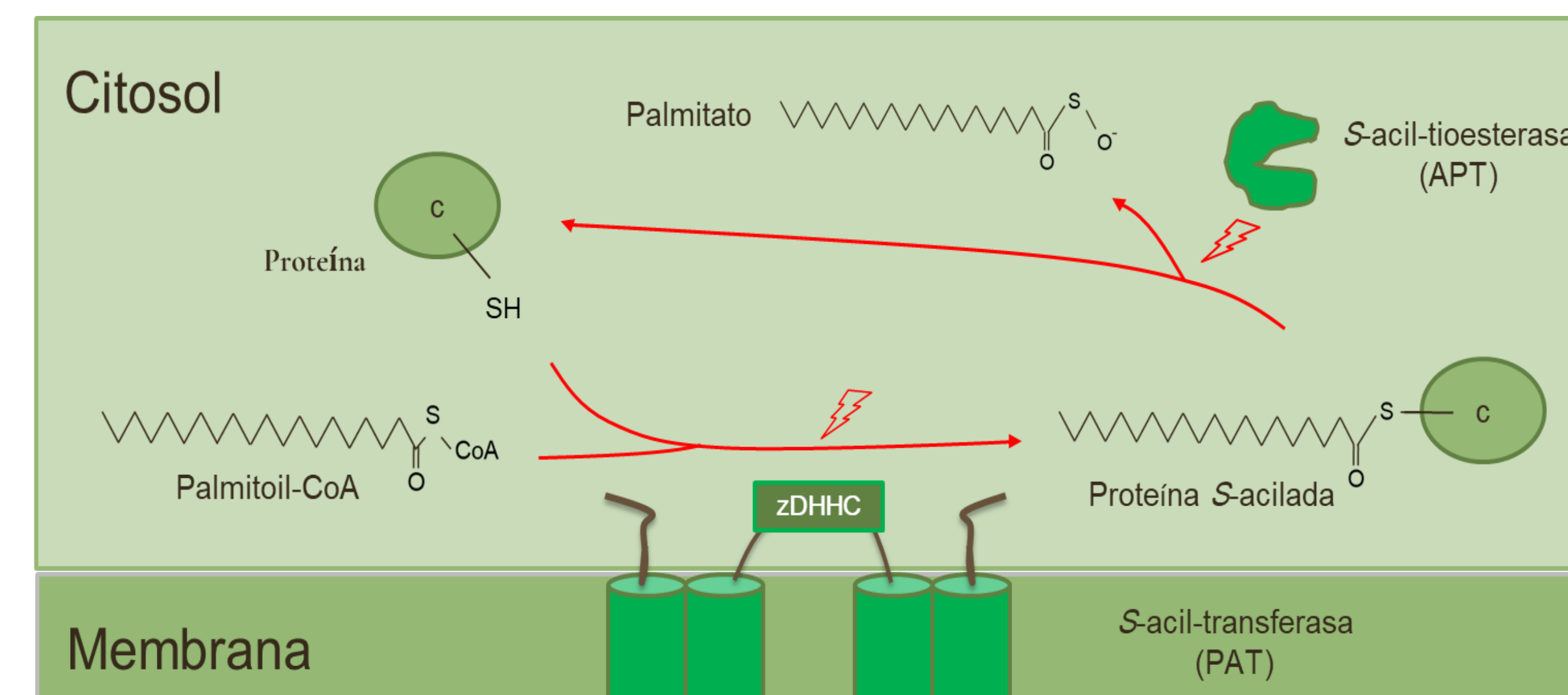


Introducción

La *S*-acilación es una modificación post-traduccional (MPT) reversible en la que los ácidos grasos saturados (principalmente el ácido palmítico) se unen a residuos específicos de cisteína mediante enlace tioéster por la acción de enzimas *S*-acil-transferasas (PATs) (Figura 1). La *S*-acilación regula procesos vitales en la función celular como la respuesta a estrés biótico y abiótico, asociación de proteínas a membrana, transporte, señalización hormonal, polarización y expansión celular, y organización del citoesquelética [1]. El principal objetivo de este trabajo es determinar de forma predictiva el impacto potencial de la *S*-acilación y enzimas PATs en la función biológica del polen y su relevancia en el proceso reproductivo de un cultivo oleaginoso como el olivo. Estas predicciones bioinformáticas están siendo validadas experimentalmente.


 Figura 1. Dinámica de la *S*-acilación.

Metodología y resultados



Análisis funcional del *S*-aciloma teórico

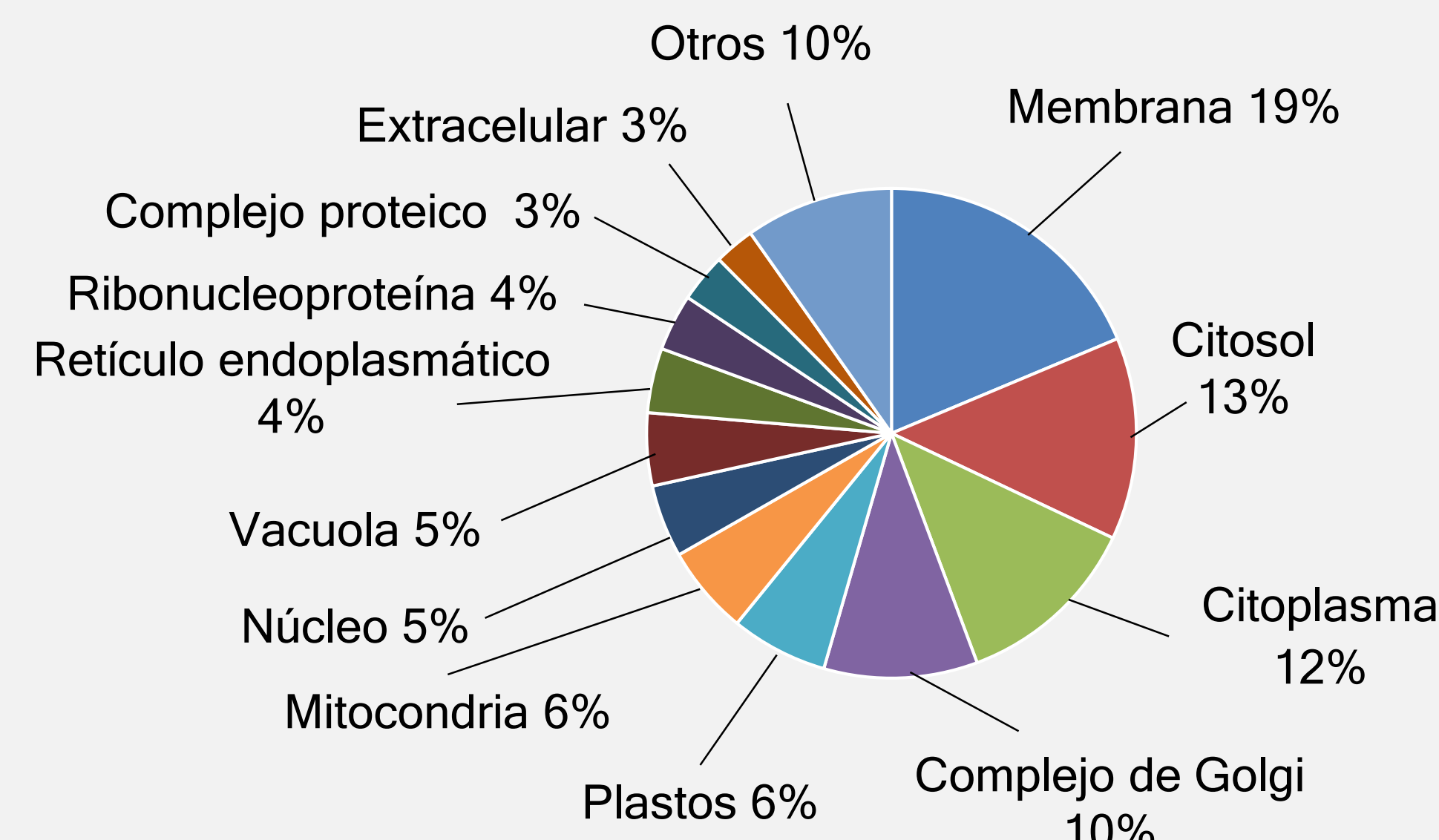


Figura 4. Componentes celulares.

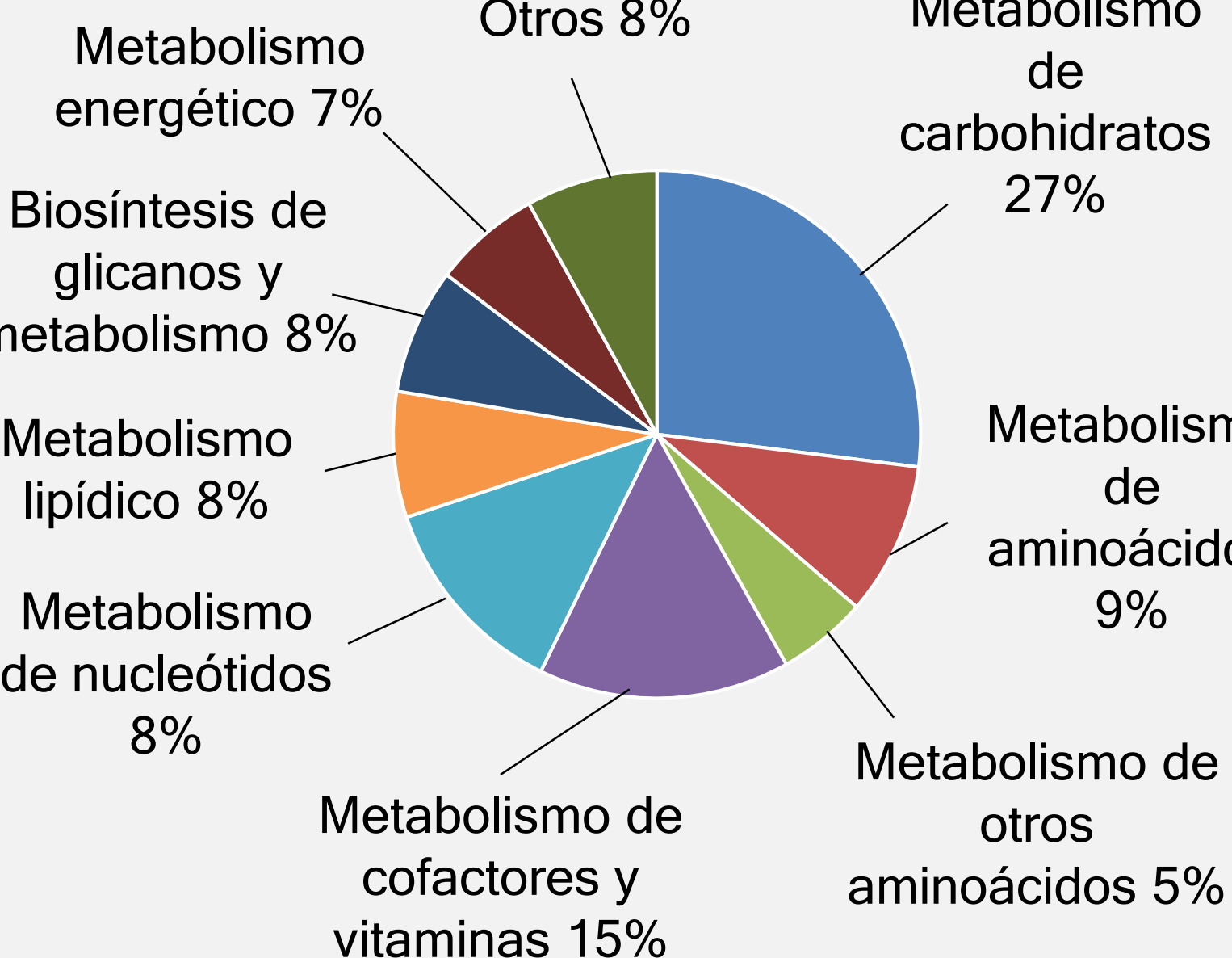


Figura 5. Análisis KEGG.

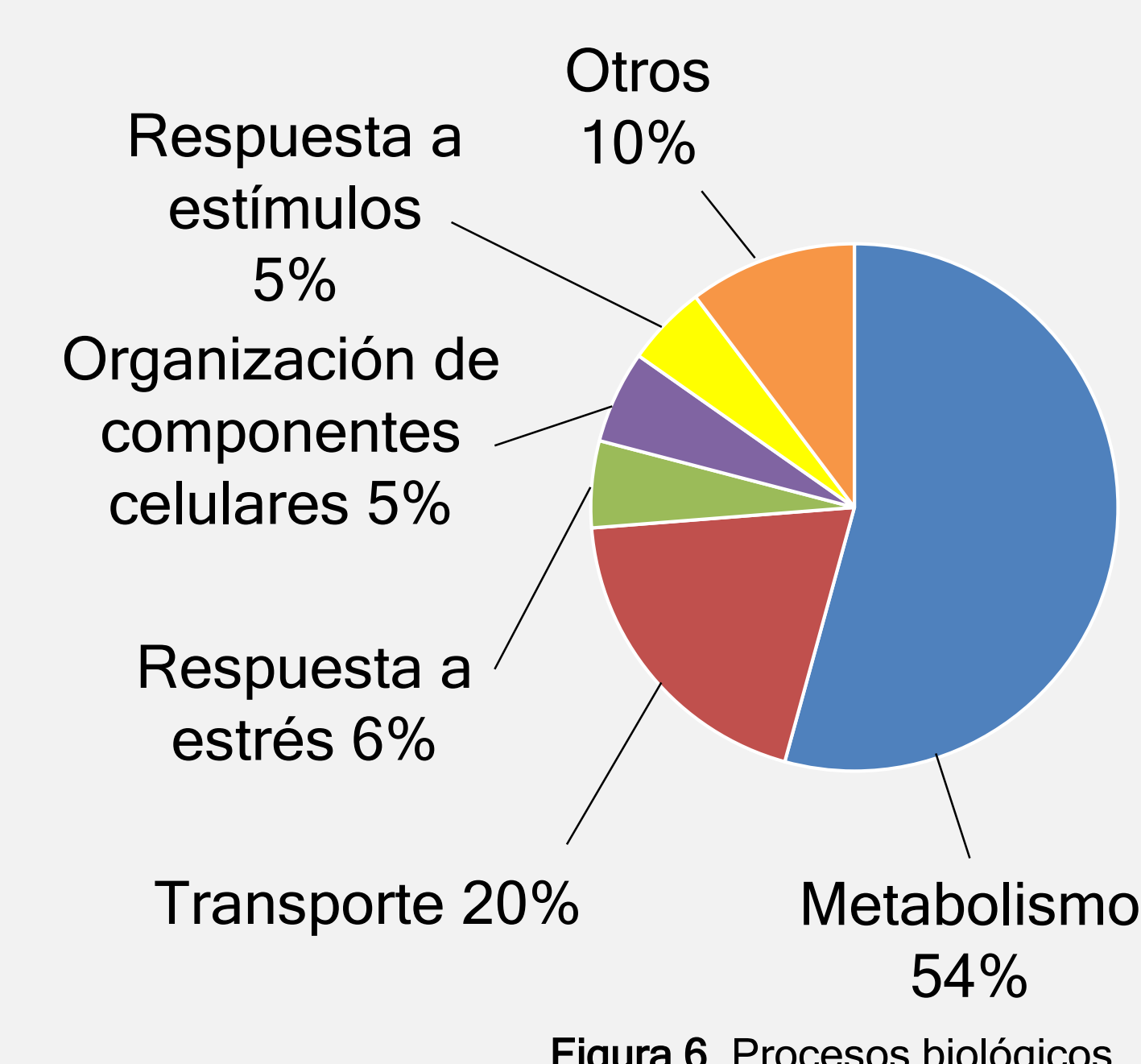


Figura 6. Procesos biológicos.

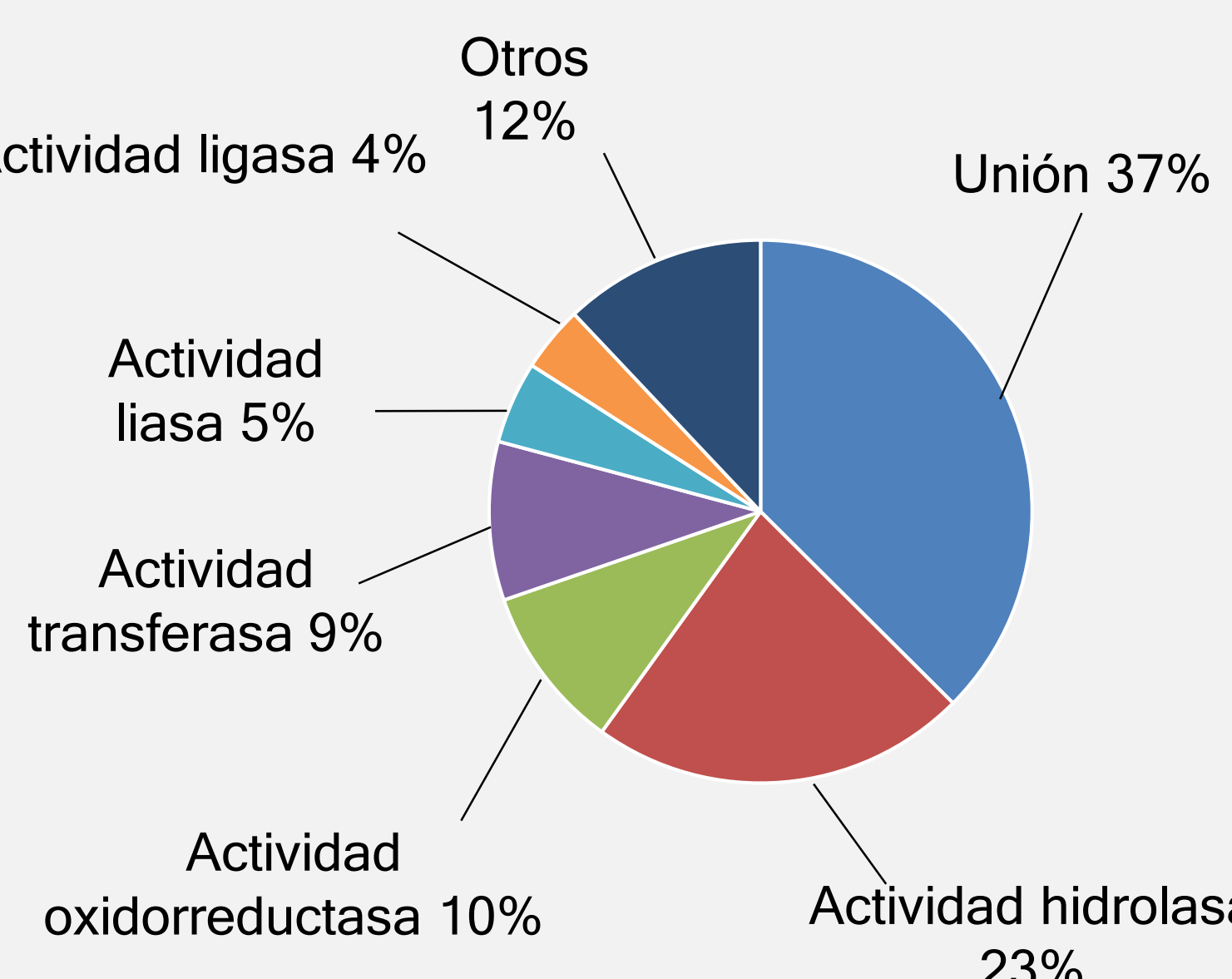


Figura 7. Función molecular.

Análisis *in silico* de enzimas PAT

Gene	Picual ID	ReprOlive ID	Farga ID	Oleaster ID	TAIR
OepPAT1	Oleur061Scf7804g02017	po11_olive_026869			
		po11_olive_011498	CAA2983889	XP_022853887	AT5G05070 (PAT3)
		po11_olive_001327			
		po11_olive_012771			
		po11_olive_017626			
OepPAT3	Oleur061Scf4420g03001	po11_olive_001725	CAA2986070	XP_022888012	AT3G56930 (PAT4)
		po11_olive_016036			
		po11_olive_001243			
OepPAT4	Oleur061Scf4630g01016		CAA2961248	XP_022899636	AT3G56930 (PAT4)
OepPAT7	Oleur061Scf1580g13006		CAA2960356	XP_022894349	AT3G26935 (PAT7)
OepPAT10	Oleur061Scf0012g03008	po11_olive_017743	CAA2966920	XP_022879750	AT3G51390 (PAT10)
OepPAT11	Oleur061Scf1918g00037	po11_olive_013103	CAA2938522	XP_022882160	AT3G18620 (PAT20)
OepPAT14	Oleur061Scf8652g02012	ND	CAA2979942	XP_022897160	AT3G60800 (PAT14)
OepPAT16	Oleur061Scf1055g00037	po11_olive_020901	CAA2964308	XP_022852904	AT3G09320 (PAT16)
OepPAT17	Oleur061Scf8574g01021	po11_olive_015292	CAA2989962	XP_022893260	AT3G04970 (PAT17)
OepPAT22	Oleur061Scf1331g00015	po11_olive_018041	CAA2952314	XP_022856484	AT1G69420 (PAT22)
OepPAT24.1	Oleur061Scf1042g05064	po11_olive_016916	CAA3010801	XP_022881168	AT5G20350 (PAT24)
OepPAT24.2	Oleur061Scf0318g06003	po11_olive_014113	CAA3010801	XP_022893467	AT5G20350 (PAT24)
		po11_olive_006944			
		po11_olive_014781			

Figura 6. Identificación de enzimas PAT.

Gene	Raíz	Tallo	Meristemo	Hojas	Flor	Polen
OepPAT 1	0,08	0,07	0,21	0,04	0,83	215,55
OepPAT 3	0,55	0,13	0,58	0,36	3,01	61,48
OepPAT 4	0,03	0,25	1,11	0,13	0,52	58,02
OepPAT 7	13,72	13,83	6,49	2,29	18,1	3,79
OepPAT 10	4,84	6,13	7,2	3,29	2,24	2,52
OepPAT 11	14,43	16,62	14,21	12,05	8,41	3,47
OepPAT 14	19,5	13,44	18,25	13,37	8,59	2,33
OepPAT 16	2,16	2,43	9,01	0,79	6,57	3,78
OepPAT 17	14,69	17,71	17,97	1,15	25,99	7,93
OepPAT 22	37,14	22,47	46,37	9,47	22,33	5,71
OepPAT 24.1	21,09	19,15	20,16	14,69	12,06	12,66
OepPAT 24.2	12,97	9,82	14,59	9,27	6,79	3,95

 Figura 7. Análisis de expresión *in silico*, Olive Atlas [4].

JABI 2024

GRANADA, 24, 25 Y 26 DE JUNIO

Esta investigación fue financiada por los proyectos PID2020-113324GB-I00 y TED2021-130015B-C22 del MICINN/AEI, ambos cofinanciados por el programa FEDER de la Unión Europea. Andrea Román recibió una beca de doctorado del MICINN.



[1] Hemsley PA (2015). The importance of lipid modified proteins in plants. New Phytol. 205(2): 476-489.

[2] San Segundo-Acosta, P., Oeo-Santos, C., Benedé, S., De Los Ríos, V., Navas, A., Ruiz-León, B., ... y Barberas, R. (2019). Delineation of the olive pollen proteome and its allergenome unmasks cyclophilin as a relevant cross-reactive allergen. Journal of proteome research, 18(8), 3052-3066.

[3] Rejón JD, Delalande F, Schaeffer-Reiss C, Alché JD, Rodríguez-García MI, Van Dorsselaer A, Castro AJ. (2016) The Pollen Coat Proteome: At the Cutting Edge of Plant Reproduction. Proteomes. 29(4):1-5.

 [4] Jiménez-Ruiz J, Ramírez-Tejero JA, Fernández-Pozo N, et al. Transposon activation is a major driver in the genome evolution of cultivated olive trees (*Olea europaea* L.). Plant Genome. 2020; 13:e20010.

Conclusiones

- El *S*-aciloma teórico de olivo consiste en 179 proteínas (un 9% del proteoma analizado). Este hecho sugiere que esta MPT es importante en la función del polen.
- Las proteínas identificadas como potencialmente *S*-aciladas sometidas al análisis functional se encontraron mayoritariamente asociadas a membrana, y participan en procesos clave para la función del polen como la regulación metabólica, transporte y organización de componentes celulares, y respuesta a estrés (Figuras 2, 3, 4, 5).
- Se han identificado 12 posibles genes PAT con expresión en polen de olivo (Figura 6). Los genes OePAT1, OePAT3 y OePAT4 son genes específicos de polen con altos niveles de expresión, sugiriendo que juegan un papel clave en la *S*-acilación de proteínas (Figura 7).
- Varios miembros de la familia Ole e 1, una proteína relevante en la función del polen e importante alérgeno, se encuentran modificados por *S*-acilación (Figura 8).